

上篇·电力系统稳态分析

【电力系统概念】

电力系统: 完成电能生产、输送、分配、消费的整体
一次系统: 发电机、电力网络、负荷(高压电)
二次系统: 保证一次系统安全可靠经济运行的信息特点及其操作机构(低压电)
运行特点: 密切性、短促性、同时性
基本要求: (1)供电可靠性 (2)电能质量高(电压+5%~7%,频率±0.2~0.5Hz) (3)经济性好 (4)环境友好
动力系统: 电力系统、发电厂动力部分、热力网
联络线: 交换功率,提高可靠性,扩大规模
电气接线: 电气连接关系 **地理接线**: 相对地理位置与互联路径
开式接线: 配电网,可有备用 **闭式接线**: 输电网
电能生产: 火电 70%、水电 10%、核电大于 10%、新能源包括太阳能风能地热潮汐能燃料电池核聚变等,抽水蓄能电厂可以削峰填谷

【远距离大容量输电与互联 直流输电】

容量 $S = UI$,压降 $\Delta U = IZ$,损耗 $P_L = I^2 R$
高电压输电: 容量大、压降小、损耗小、稳定性高
考虑绝缘,发电机电压 10-30kV,变压器升到 110-750kV,大负荷 6-110kV,民用负荷 110/220V(单相)
互联优点: 错峰减少总装机容量,减少备用,提高可靠性和用电质量,合理利用动力资源以实现经济运行(水、小火电)
互联问题: 超高压互联设备投资大,系统规模大运行难度大、安全风险大,并联回路多故障电流大
大系统控制: 集中管理,分层控制(国网省区县,35kV 县市,110 跨县市,220 跨地区,500 跨省,750 跨大区)

直流输电优点: 适于互联(同频同步问题);造价低(费用相同容量比 DC:AC=3:2);损耗小;控制简便
直流输电缺点: 换流站价格高(等价距离 500km);谐波恶化电能质量干扰通信;电流不过零灭弧困难

【额定电压确定】

线路(电网)额定电压 = 用电设备额定电压
发电机额定电压 = $1.05 \times$ 线路额定电压
升压变压器: 一次侧 = 发电机额定电压(接发电机)或 线路额定电压(接线路), 二次侧 = $1.1 \times$ 线路额定电压
降压变压器: 一次侧 = 线路额定电压
二次侧 = $1.1 \times$ 线路额定电压(30kV 以内可取 1.05)
二次侧接 380V 配电网时,额定电压取 400V

【复功率】

复功率 $S = UI^*$ 视在功率 $S = UI$
有功功率: 周期为 $2\omega t$,均值为 $UI \cos \varphi$
无功功率: 周期为 $2\omega t$,均值为 0,峰值为 $UI \sin \varphi$
有功表征功率消耗有功,无功表征能量交换速率
三相复功率 $S = 3U_p I_p = \sqrt{3} U_L I_L e^{-j30^\circ}$
三相有功功率 $P = \sqrt{3} U_L I_L \cos \varphi = 3U_p I_p \cos \varphi$
三相无功功率 $Q = \sqrt{3} U_L I_L \sin \varphi = 3U_p I_p \sin \varphi$
网络吸收感性无功: $Q > 0$ 无功负荷, $Q < 0$ 无功电源
网络吸收感性无功等价于发出容性有功
发电负荷-厂用电=供电负荷=用电负荷+网损

【架空线等值电路】

三相循环换位解决参数不平衡 钢芯铝绞;型号和
衡平衡导线减少电抗和电晕 数字(载流面积、
损耗,但会增大电纳 单位 mm^2)
分布参数计算公式
电阻 $r = \rho / nS \Omega / km$
电抗 $x = 0.1445 \lg(D_{eq} / D_s) \Omega / km$
电导 $g = \Delta P_g / U^2 \times 10^{-3} S / km$
电纳 $b = 7.58 / \lg(D_{eq} / D_s) \times 10^{-6} S / km$
其中: ρ 为计算电阻率(单位 $\Omega \cdot mm^2 / km$,铜 18.8
铝 31.5) n 导线分裂数, r_0 为导线半径(单位 mm), R
为分裂圆周半径(单位 mm), D 为相距(单位 mm)
 $D_{eq} = \sqrt[3]{D_{12} D_{23} D_{13}}$, $D_s = \sqrt{n R n - 1} r_0$
 $D_s = \sqrt[3]{n R n - 1} r_0$, (钢芯绞线) $r' = 0.81 r_0$
经验数据: $x = 0.4$, $b = 2.6 - 2.85 \times 10^{-6}$
集总参数电路: I_1 流入二端口, I_2 流出二端口

$$\begin{bmatrix} \dot{U}_1 \\ \dot{I}_1 \end{bmatrix} = \begin{bmatrix} \cosh \sqrt{ZY} & \sqrt{ZY} \sinh \sqrt{ZY} \\ \sqrt{Y/Z} \sinh \sqrt{ZY} & \cosh \sqrt{ZY} \end{bmatrix} \begin{bmatrix} \dot{U}_2 \\ \dot{I}_2 \end{bmatrix}$$

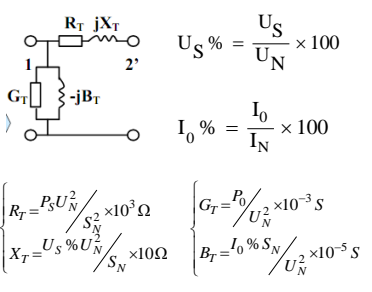
 $Z = zL, Y = yL, L$ 为线路长度
 $L > 750 km$ 长线,用下式精确计算
$$\begin{bmatrix} Z' \\ Y' \end{bmatrix} = \begin{bmatrix} Z \frac{\sinh \sqrt{ZY}}{\sqrt{ZY}} \\ \frac{Y}{2} \frac{\tanh(\sqrt{ZY}/2)}{\sqrt{ZY}/2} \end{bmatrix}$$

$300 km \leq L \leq 750 km$, 取级数前两项:
$$Z' = Z(1 + ZY/6); \frac{Y'}{2} = \frac{Y}{2}(1 - \frac{ZY}{12})$$

 $L \leq 300 km$,取级数前 1 项;
 $L \leq 100 km$,电压等级 $\leq 35 kV$: 忽略并联导纳
双曲函数计算公式:
 $\sinh(x) = (e^x - e^{-x})/2$, $\cosh(x) = (e^x + e^{-x})/2$
 $\tanh(x/2) = (\cosh(x) - 1) / \sinh(x)$

【变压器等值电路】

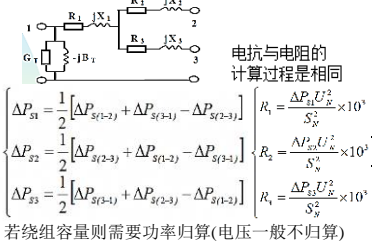
短路试验: ΔP_S 忽略铁耗 空载试验: ΔP_0 忽略铜耗



等值电路求的是 YY 接法归算到 U_N 侧的单相参数

【三绕组变压器等值电路】

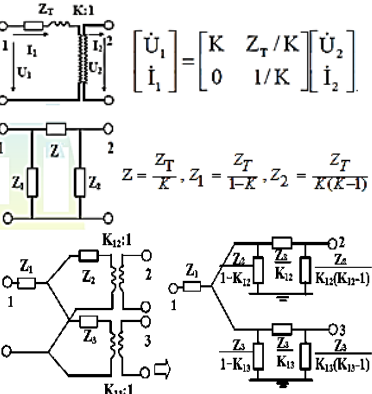
归算至同一侧, X_1, X_2, X_3 为综合自感,互感的等值电感



若绕组容量则需要功率归算(电压一般不归算)

$$\Delta P_{s(a-b)} = \left[\frac{S_N}{\min(S_{Na}, S_{Nb})} \right]^2 \Delta P'_{s(a-b)}$$

【变压器π型等值电路】



【标么值选取】

单相 $S_B = U_B I_B$, $U_B = Z_B I_B$
三相 $S_{3PB} = \sqrt{3} U_{LB} I_{LB}$, $U_{LB} = \sqrt{3} Z_B I_{LB}$
变压器: $R_T = \Delta P_{T0}$, $X_T = U_{T0}$
 $G_T = \Delta P_{T0}$, $B_T = I_{T0}$
标么值换算: (原则是有名值不变)

$$Z_{*B} = Z_N \frac{U_N^2 S_B}{S_N U_B^2} = Z_N \frac{U_N I_N}{U_B I_B}$$

1.逐级归算: 按变比折合阻抗至同一电压等级
2.各选电压法: 统一选 S_B , 两侧分别选取电压基值
计算标么值, $K_* = K / K_B$, $K_* = 1$ 可以省去磁耦合
3.近似计算,所有元件 $U_N = U_{av}$

【负荷静态特性】

有功负荷电压调节效应系数 $K_{PV} = dP/dU$
无功负荷电压调节效应系数 $K_{QV} = dQ/dU$
有功负荷频率调节效应系数 $K_{Pf} = dP/df$

【简单潮流计算】

潮流: 系统中各节点电压各支路功率的稳态分布
$$\begin{bmatrix} \dot{U}_1 \\ \dot{I}_1 \end{bmatrix} = \begin{bmatrix} 1 & R & jX \\ 0 & 1 & 0 \end{bmatrix} \begin{bmatrix} \dot{U}_2 \\ \dot{I}_2 \end{bmatrix}$$

$$\begin{aligned} d\dot{U}_1 &= \frac{P_1 R + Q_1 X}{U_1} + j \frac{P_1 X - Q_1 R}{U_1} \text{ (知左侧参量)} \\ d\dot{U}_2 &= \frac{P_2 R + Q_2 X}{U_2} + j \frac{P_2 X - Q_2 R}{U_2} \text{ (知右侧参量)} \end{aligned}$$

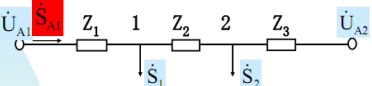
功率损耗: $\Delta \dot{S}_S = (P_S^2 + Q_S^2) / (R + jX) / U_S^2$
线路损耗: $\Delta \dot{S}_L = \Delta \dot{S}_S + \Delta \dot{S}_{P1} + \Delta \dot{S}_{P2}$
输电线的传输效率: 线路末端有功/线路首端有功
QU强耦合 Q 从高压侧流向低压侧
Vδ强耦合 P 从超前点流向滞后点

【开式网潮流计算】

已知同点 U,S: 递推计算
已知不同点 U,S: 迭代法计算
1.假设全网为额定电压; 2.不计压降前代计算功率损耗; 3.由始端电压和功率损耗回代计算电压; 4.反复迭代至收敛(计算 2 步)

【两端供电网】

基本功率=自然功率分布+循环功率分布



自然功率: 杠杆原理

循环功率用 S_c 表示,方向从 1 到 2(注意其耗量)

$$S_{A1} = \frac{S_1 \bar{Z}_I + S_2 \bar{Z}_{II}}{Z_{\Sigma}} + U_N (\bar{U}_{A1} - \bar{U}_{A2}) / \frac{Z_{\Sigma}}{Z_{\Sigma}}$$

$$Z_{\Sigma} = Z_1 + Z_2 + Z_3 \quad Z_I = Z_2 + Z_3 \quad Z_{II} = Z_3$$

Sc 的弊: 不送入负荷,产生功率损耗(经济性)
Sc 的利: 可调整潮流分布,强制调整(可控性)
注意事项:
在无功功率分点将环网拆成开式网,并给出两个分点处功率(其他支路功率需要重新计算)
对于含有变压器的网络,从环路中断端口的电压即为循环功率中的 dU(端口须在 U_N 侧)

【网络方程与矩阵】

$I_N = Y_N \bar{U}_N$, $Z_N = Y_N^{-1}$, $\bar{U}_N = Z_N I_N$
线性网络 $Y_{11} = Y_{10} + Y_{12} + Y_{13}, Y_{12} = -Y_{12}$
非线性网络 Y_{11} 表示节点 1 加单位电压,其他节点加 0 电压时从 1 注入的电流 Y_{12} 表示节点 1 加单位电压,其他节点加 0 电压时从 2 注入的电流
非线性网络 Z_{11} 表示节点 1 加单位电流,其他节点加 0 电流时节点 1 的电压 Z_{12} 表示节点 1 加单位电流,其他节点加 0 电流时节点 2 的电压值

【潮流方程解法的特点】

基于 Y 的 Gauss 迭代法,存储量少,但收敛性差
基于 Z 的 Gauss 迭代法,存储量大,但收敛性好
N-R 法,引入稀疏技术,收敛性好,但计算量与存储量很大
PQ 分解法, PQ 解耦简化,收敛性稍差,计算速度很快,适合在线分析

【功率方程推导】

节点类型: PQ(负荷节点 n-1-r 个),PV(发电机节点 r 个),Vδ(平衡节点/参考节点 1 个)
直角坐标: $Y_{ij} = G_{ij} + jB_{ij}, \bar{U}_i = e_i + jf_i$
计算电流: $P_i - jQ_i = \bar{U}_i \sum_{j=1}^n Y_{ij} \bar{U}_j$

$$\begin{cases} a_i = \sum_{j=1}^n (G_{ij} e_j - B_{ij} f_j) \\ b_i = \sum_{j=1}^n (G_{ij} f_j + B_{ij} e_j) \end{cases}$$

潮流方程:

$\Delta P_i = P_i - (e_i a_i + f_i b_i) = 0 \quad n-1$ 个
 $\Delta Q_i = Q_i - (f_i a_i - e_i b_i) = 0 \quad n-r-1$ 个
 $\Delta U_i^2 = U_i^2 - (e_i^2 + f_i^2) = 0 \quad r$ 个

【NR 法一直角坐标】

修正方程:

$$\begin{bmatrix} \Delta P \\ \Delta Q \\ \Delta U^2 \end{bmatrix} = - \begin{bmatrix} \frac{\partial \Delta P}{\partial e} & \frac{\partial \Delta P}{\partial f} \\ \frac{\partial \Delta Q}{\partial e} & \frac{\partial \Delta Q}{\partial f} \\ \frac{\partial \Delta U^2}{\partial e} & \frac{\partial \Delta U^2}{\partial f} \end{bmatrix} \begin{bmatrix} \Delta e \\ \Delta f \end{bmatrix} \begin{bmatrix} H & N \\ M & L \\ R & S \end{bmatrix} \begin{bmatrix} n-1 \\ n-1 \\ n-1-r \\ r \end{bmatrix}$$

导数矩阵称为雅可必矩阵

$$\begin{cases} H_{ii} = \frac{\partial \Delta P_i}{\partial e_i} = -a_i - (G_{ii} e_i + B_{ii} f_i) \\ H_{ij} = \frac{\partial \Delta P_i}{\partial e_j} = -(G_{ij} e_j + B_{ij} f_j) \\ N_{ii} = \frac{\partial \Delta P_i}{\partial f_i} = -b_i + (B_{ii} e_i - G_{ii} f_i) \\ N_{ij} = \frac{\partial \Delta P_i}{\partial f_j} = B_{ij} e_i - G_{ij} f_j \\ M_{ii} = \frac{\partial \Delta Q_i}{\partial e_i} = b_i + (B_{ii} e_i - G_{ii} f_i), M_{ij} = N_{ij} \\ L_{ii} = \frac{\partial \Delta Q_i}{\partial e_i} = -a_i + (G_{ii} e_i + B_{ii} f_i), L_{ij} = -H_{ij} \\ R_{ii} = \frac{\partial \Delta U_i^2}{\partial e_i} = -2e_i, R_{ij} = 0 \\ S_{ii} = \frac{\partial \Delta U_i^2}{\partial f_i} = -2f_i, S_{ij} = 0 \end{cases}$$

【NR 法一极坐标法】

$$\begin{bmatrix} \Delta P \\ \Delta Q \end{bmatrix} = - \begin{bmatrix} \frac{\partial \Delta P}{\partial \delta} & \frac{\partial \Delta P}{\partial U} \\ \frac{\partial \Delta Q}{\partial \delta} & \frac{\partial \Delta Q}{\partial U} \end{bmatrix} \begin{bmatrix} \Delta \delta \\ \Delta U \end{bmatrix} \begin{bmatrix} n-1 \\ n-1-r \end{bmatrix}$$

极坐标: $Y_{ij} = G_{ij} + jB_{ij}, \bar{U}_i = U_i e^{j\delta_i}$

$$\begin{cases} \Delta P_i = P_i - U_i \sum_{j=1}^n U_j (G_{ij} \cos \delta_{ij} + B_{ij} \sin \delta_{ij}) \\ \Delta Q_i = Q_i + U_i \sum_{j=1}^n U_j (B_{ij} \cos \delta_{ij} - G_{ij} \sin \delta_{ij}) \end{cases}$$

注: $\delta_{ij} = \delta_i - \delta_j, n-1$ 个 P 方程, $n-r-1$ 个 Q 方程
修正方程:

$$\begin{bmatrix} \Delta P \\ \Delta Q \end{bmatrix} = - \begin{bmatrix} \frac{\partial \Delta P}{\partial \delta} & \frac{\partial \Delta P}{\partial U} \\ \frac{\partial \Delta Q}{\partial \delta} & \frac{\partial \Delta Q}{\partial U} \end{bmatrix} \begin{bmatrix} \Delta \delta \\ \Delta U \end{bmatrix} \begin{bmatrix} n-1 \\ n-1-r \end{bmatrix}$$
$$\begin{cases} H_{ii} = Q_i + U_i^2 B_{ii} \\ H_{ij} = -U_i U_j (G_{ij} \sin \delta_{ij} - B_{ij} \cos \delta_{ij}) \end{cases}$$

$$\begin{cases} N_{ii} = -P_i - U_i^2 G_{ii} \\ N_{ij} = -U_i U_j (G_{ij} \cos \delta_{ij} + B_{ij} \sin \delta_{ij}) \\ M_{ii} = -P_i + U_i^2 G_{ii} \\ M_{ij} = -N_{ij} \end{cases} \begin{cases} L_{ii} = -Q_i + U_i^2 B_{ii} \\ L_{ij} = H_{ij} \end{cases}$$

【PQ 解算法】

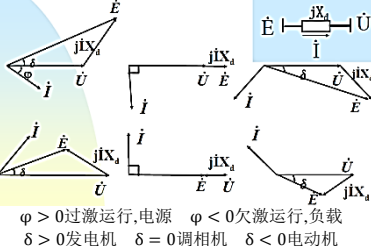
简化 1. 由于 $R < X$, 有 $N < H, M < L$, 忽略非对角块, $N=0, M=0$.
简化 2. δ_{ij} 较小, $\cos \delta_{ij} \approx 1, G_{ij} \sin \delta_{ij} \ll B_{ij} \cos \delta_{ij}$, 于是 $H_{ij} = U_i U_j B_{ij} = L_{ij}$
简化 3. $Q_i \ll U_i^2 B_{ii}, L_{ii} = U_i^2 B_{ii} = H_{ii}$
修正方程:

$$\begin{cases} \Delta P / U = -B' U \Delta \delta \quad n-1 \text{ 维} \\ \Delta Q / U = -B'' \Delta U \quad n-1-r \text{ 维} \end{cases} \quad H, L \approx U B U$$

B 是常数矩阵,运算速度提高.
简化只影响迭代过程,不影响迭代结果.

【稳态运行与控制—无功与电压】

电压偏移: 实际电压与额定电压之差,不可避免.
35kV 以上 $\pm 5\%$, 10kV 以下 $\pm 7\%$.
低压照明 $+5\% - 10\%$, 农村电网 $+7.5\% - 10\%$.
事故允许再增 5%, 但正值不超过 $+10\%$.
电压低 损耗大、危及系统稳定性
电压高 破坏绝缘、超高压电晕损耗.
无功平衡: 无功不能远距离输送. 无功平衡要求全系统平衡和局部地区平衡, 需要无功补偿.
同步电机的 6 种运行状态:



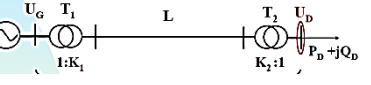
$\varphi > 0$ 过激运行, 电源 $\varphi < 0$ 欠激运行, 负载 $\delta > 0$ 发电机 $\delta = 0$ 调相机 $\delta < 0$ 电动机

无功电源:

1. 发电机(唯一有功电源、基本无功电源), 有功备用充足时, 让负荷中心发电机少发有功、多发无功
2. 同步调相机, 优点是调节平滑, 电源/负载(升压/降压)均可, 可强励; 缺点是投资、维护量、损耗大
3. 静电容器, 优点是可分散/集中补偿, 可分相补偿, 投资少, 有功损耗少; 缺点是电压下降时输出急剧下降, 不利于稳定电压
4. SVC(静止无功补偿器, 电感和电容并联补偿), 优点是调节能力强, 特性平滑, 反应速度快, 可分相补偿, 损耗小, 维护简单; 缺点是电压低时补偿量小, 有谐波污染
5. 高压线充电电容, 高压线固有, 无功过剩时电压偏高, 需要并联电抗

中枢纽点: 电压有代表性的母线, 要求其到不同负荷点的电压损耗不能太大, 如大电厂高压母线、有大量地方负荷的机端母线、大型变电所二次母线.

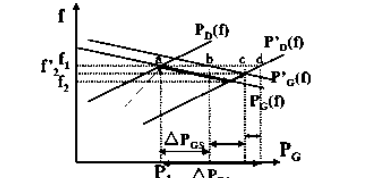
电压控制: 1. 发电机励磁电压(难以兼顾机端负荷和远方负荷) 2. 变压器分接头, 改变变比(有载调压变压器) 3. 利用无功补偿控制(并联电容器并补最小负荷时全部切除, 同步调相机最大负荷时做无功电源)



$$U_p = (U_c K_1 - \Delta U) \frac{1}{K_2} \approx (U_c K_1 - \frac{Q_p X}{U_N}) \frac{1}{K_2}$$

【稳态运行与控制—有功与频率】

频率偏移: 负荷随机变化, 不可避免, $50 \pm 0.2 Hz$
一次调频: $< 10''$ 内 调速器, 有差调节近似直线
二次调频: $10'' - 3'$ 调频器, 由部分电厂承担.
三次调频: $> 3'$ 依负荷曲线在厂机组之间经济合理分配



ab 为二次调频, bc 为一次调频, cd 为负载调节效应
负荷功频静特性 $K_{Dp} = (\Delta P_p / P_{DN}) / (\Delta f / f_N)$
发电机功频静特性 $K_{Gp} = -(\Delta P_G / P_{GN}) / (\Delta f / f_N)$
N 台发电机组功频静特性 $K_{Gp} = (\sum K_{Gi} + P_{Gi}) / \sum P_{Gi}$
发电机静态调差系数 $\delta = 1 / K_{Gp}$
电力系统功频静特性 $K_s = K_{Dp} + (P_{GN} / P_{DN}) K_{Gp}$
切记: 选好参考点
按投入时间划分: 热备用: 旋转备用, 运转中的发电设备可发最大功率与实际发电功率之差.
冷备用: 未运转的, 可随时启动最大功率
按用途划分: 负荷备用, 事故备用, 检修备用, 国民经济备用

【经济运行与控制】

发电成本特性: $C(P_G) = a + bP_G + cP_G^2$ ¥/h
传统 ED(经济调度):

目标函数: $\min C_T = \sum C_i(P_{Gi})$
约束条件: $\sum P_{Gi} = P_D$

等微增率准则: 最优解各机组成本微增率相等
考虑发电出力限制: 若某机组出力挤界, 则将其固定在界上, 对剩余机组继续使用等微增率准则, 直至满足负荷要求。

下篇·电力系统暂态分析

【暂态分析绪论】

暂态过程类型: 波过程(电流、电压波的传播, 操作、雷击过电压), 电磁暂态过程(电流、电压、磁链等电磁变量快速变化, 短线/断线故障), 机电暂态过程(机组功率角、转速、系统频率、电压的变化, 系统振荡/稳定性破坏)

短路的后果: 产生大电流(发热、电磁力), 造成低电压干扰稳定运行

短路电流的组成: 无穷大电源 i_0 时刻短路电流

$$i(t) = \frac{\sqrt{2}U}{|Z|} \sin(\omega t + \varphi - \theta) - \frac{\sqrt{2}U}{|Z|} e^{-\frac{t}{T_d}} \sin(\omega t_0 + \varphi - \theta)$$

进入稳态所需时间: 4~5T

【同步电机建模】

绕组电压方程(6个):

$$\begin{bmatrix} u_d \\ u_q \\ u_0 \end{bmatrix} = P \begin{bmatrix} \psi_d \\ \psi_q \\ \psi_0 \end{bmatrix} + \begin{bmatrix} r & 0 & 0 \\ 0 & r & 0 \\ 0 & 0 & r \end{bmatrix} \begin{bmatrix} i_d \\ i_q \\ i_0 \end{bmatrix} + \begin{bmatrix} -i_q \\ i_d \\ i_0 \end{bmatrix}$$

绕组磁链方程(6个):

$$\begin{bmatrix} \psi_d \\ \psi_q \\ \psi_0 \end{bmatrix} = L \begin{bmatrix} i_d \\ i_q \\ i_0 \end{bmatrix} + L_{ad} \begin{bmatrix} i_d \\ i_q \\ i_0 \end{bmatrix}$$

定子自感 $L_{aa} = L_s + L_{\sigma} \cos 2\theta_a$

定子互感 $L_{ab} = -M_s - L_{\sigma} \cos 2(\theta_a + 30^\circ)$

转子自感 $L_{DD} = L_D = \text{const}$

转子互感 $L_{Df} = M_R = \text{const}$

转子互感 $L_{Df} = \text{const} = 0$

定转子互感 $L_{af} = M_f \cos \theta_a$

定转子互感 $L_{a0} = -M_0 \sin \theta_a$

abcDQ 绕组接口方程(6个):

$$u_D = 0, u_0 = 0, u_{abc} \text{ 约束}$$

【派克变换】

$$\begin{bmatrix} f_d \\ f_q \\ f_0 \end{bmatrix} = \frac{2}{3} \begin{bmatrix} \cos \theta_a & \cos \theta_b & \cos \theta_c \\ -\sin \theta_a & -\sin \theta_b & -\sin \theta_c \\ 1/2 & 1/2 & 1/2 \end{bmatrix} \begin{bmatrix} f_a \\ f_b \\ f_c \end{bmatrix} = \bar{C} \begin{bmatrix} f_a \\ f_b \\ f_c \end{bmatrix}$$

$$\bar{C}^{-1} = \begin{bmatrix} \cos \theta_a & -\sin \theta_a & 1 \\ \cos \theta_b & -\sin \theta_b & 1 \\ \cos \theta_c & -\sin \theta_c & 1 \end{bmatrix}$$

注意: θ_a 是 d 轴领先 a 相的角度, $\theta_b = \theta_a - 120^\circ$

正交化: 2/3 变为 $\sqrt{2}/3$, 1/2 变为 $\sqrt{1/2}$

有名值的派克电压方程:

$$\begin{bmatrix} u_d \\ u_q \\ u_0 \end{bmatrix} = P \begin{bmatrix} \psi_d \\ \psi_q \\ \psi_0 \end{bmatrix} + \begin{bmatrix} r & 0 & 0 \\ 0 & r & 0 \\ 0 & 0 & r \end{bmatrix} \begin{bmatrix} i_d \\ i_q \\ i_0 \end{bmatrix} + \begin{bmatrix} -i_q \\ i_d \\ i_0 \end{bmatrix}$$

有名值的派克磁链方程:

$$\begin{bmatrix} \psi_d \\ \psi_q \\ \psi_0 \end{bmatrix} = L \begin{bmatrix} i_d \\ i_q \\ i_0 \end{bmatrix} + L_{ad} \begin{bmatrix} i_d \\ i_q \\ i_0 \end{bmatrix}$$

有名值的派克电压方程:

$$\begin{bmatrix} u_d \\ u_q \\ u_0 \end{bmatrix} = P \begin{bmatrix} \psi_d \\ \psi_q \\ \psi_0 \end{bmatrix} + \begin{bmatrix} r & 0 & 0 \\ 0 & r & 0 \\ 0 & 0 & r \end{bmatrix} \begin{bmatrix} i_d \\ i_q \\ i_0 \end{bmatrix} + \begin{bmatrix} -i_q \\ i_d \\ i_0 \end{bmatrix}$$

有名值的派克磁链方程:

$$\begin{bmatrix} \psi_d \\ \psi_q \\ \psi_0 \end{bmatrix} = L \begin{bmatrix} i_d \\ i_q \\ i_0 \end{bmatrix} + L_{ad} \begin{bmatrix} i_d \\ i_q \\ i_0 \end{bmatrix}$$

$X_d = X_{ad} + X_{d1}, X_f = X_{ad} + X_{f1}, X_D = X_{ad} + X_{D1}$

$X_q = X_{aq} + X_{q1}, X_0 = X_{aq} + X_{Q1}$

【短路分析】

abc 绕组电流的交流(直流)分量 对应 dq0 绕组电流的直流(交流)分量

【超暂态过程】

励磁绕组直流电流不衰减, 而 D 绕组直流电流衰减, 引起 d 绕组直流量衰减, 此时, q 轴与 0 轴的直流量为 0。

$$X_d' = X_{d1} + \frac{1}{\frac{1}{X_{ad}} + \frac{1}{X_{f1}} + \frac{1}{X_{D1}}}$$

d 轴超暂态电流起始值:

$$I_d' = E'_{q0} / X_d'$$

d 轴超暂态电流终止值:

$$I_d' = E'_{q0} / X_d'$$

d 轴超暂态电流时间常数:

$$T_d' = X_{d1}' / r_D$$

【暂态过程】

D 绕组电流已衰减为 0, 即忽略阻尼绕组, 励磁绕组直流电流衰减, 引起 d 绕组直流量衰减到稳态。

d 轴超暂态电抗:

$$X_d' = X_{d1} + \frac{1}{1/X_{ad} + 1/X_{f1}} = X_d - \frac{X_{ad}}{X_f}$$

d 轴超暂态电流起始值:

$$I_d' = E'_{q0} / X_d', E'_{q0} = X_{ad} i_{f0}$$

d 轴超暂态电流终止值:

$$I_d = E_{q0} / (X_{d1} + X_{ad})$$

(空载时, $E'_{q0} = E_{q0}$)

d 轴超暂态电流时间常数:

$$T_d' = X_f' / r_f = (X_d - \frac{X_{ad}^2}{X_d}) / r_f = (X_d' / X_d) T_{d0}$$

【综合过程】

d 轴直流电流:

$$I_d(t) = (I_d' - I_d) e^{-\frac{t}{T_d'}} + I_d$$

q 轴、0 轴直流电流:

$$I_q(t) = 0, I_0(t) = 0$$

a 相短路电流的直流量:

短路瞬间 a 相电流不能突变, 因此将感应出直流量 $i_{aa}(t) = -I_d' \cos \theta_{a0} e^{-t/T_a}$

a 相总的短路电流:

$$i_a(t) = -I_d' \cos \theta_{a0} e^{-t/T_a} + I_d(t) \cos \theta_a$$

短路容量(标么值):

$$S_{F*} = I_{F*} = 1 / (X_{\Sigma*})$$

冲击电流最大值:

$$t = 1/2T = 0.01\text{ms 时}, K_{im} = 1 + e^{-0.01/T_a}$$

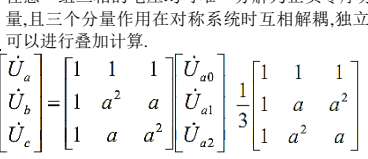
【对称分量法】: $a = e^{j120^\circ}$

任意一组三相的电压可唯一分解为正负零序分量, 且三个分量作用在对称系统时互相解耦, 独立, 可以进行叠加计算。

$$\begin{bmatrix} \dot{U}_a \\ \dot{U}_b \\ \dot{U}_c \end{bmatrix} = \begin{bmatrix} 1 & 1 & 1 \\ 1 & a^2 & a \\ 1 & a & a^2 \end{bmatrix} \begin{bmatrix} \dot{U}_{a0} \\ \dot{U}_{a1} \\ \dot{U}_{a2} \end{bmatrix} = \frac{1}{3} \begin{bmatrix} 1 & 1 & 1 \\ 1 & a & a^2 \\ 1 & a^2 & a \end{bmatrix} \begin{bmatrix} \dot{U}_a \\ \dot{U}_b \\ \dot{U}_c \end{bmatrix}$$

	X1 正序	X2 负序	X0 零序
发电机	$X_d''/X_d'/X_d$	$(X_q'' + X_q')/2$	$X_{d1} + 3X_n$
阻抗	$X - X_m$	$X - X_m$	$X + 2X_m$
变压器	$X_D + X_S$	$X_D + X_S$	$X_D + X_S$

注意: 变压器如果是 Δ 接法, 串入 Z 相当于每侧增加 1/3Z。0 解法, 相当于每相串入 3Z。

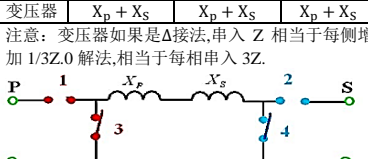


【复合序网】

金属性短路: 直接短路接地

非金属性短路: 电弧短路等, 经阻抗接地

三个序网 3 个方程(发电机惯例), 短路故障接口 3 个方程



正序等效原则:

$$I_{a1} = \frac{\dot{E}_a}{j(X_1 + X_d)}, I_{a2} \text{ 与 } I_{a3} \text{ 根据电路拓扑得到}$$

故障电流点电流: $I_f = m * I_{a1}$

	X_A	m
F(3)	0	1

(负序、零序电流为 0)

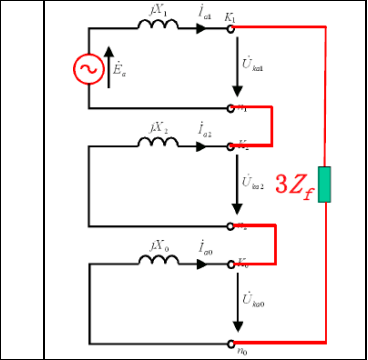
	X_2	$\sqrt{3}$
F(2)	$X_2 + Z_f$	Zf 串接



	$X_2 + X_0$	3
F(1)	X_0 换为 $X_0 + 3Z_f$	三序串联

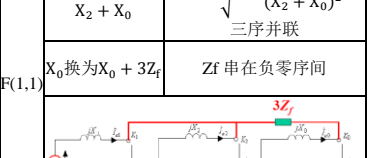
X_0 换为 $X_0 + 3Z_f$

三序串联



$\frac{X_2 X_0}{X_2 + X_0}$	$\sqrt{3} \cdot \sqrt{1 - \frac{X_2 X_0}{(X_2 + X_0)^2}}$
X_0 换为 $X_0 + 3Z_f$	Zf 串在负零序间

F(1,1)



【非全相运行】

单相断线: 三序网并联

$$\begin{bmatrix} \dot{I}_a \\ \dot{I}_b \\ \dot{I}_c \end{bmatrix} = \begin{bmatrix} \dot{I}_a \\ \dot{I}_b \\ \dot{I}_c \end{bmatrix} = \begin{bmatrix} \dot{I}_a \\ \dot{I}_b \\ \dot{I}_c \end{bmatrix}$$

两相断线: 三序网串联

$$\begin{bmatrix} \dot{U}_a \\ \dot{U}_b \\ \dot{U}_c \end{bmatrix} = \begin{bmatrix} \dot{U}_a \\ \dot{U}_b \\ \dot{U}_c \end{bmatrix} = \begin{bmatrix} \dot{U}_a \\ \dot{U}_b \\ \dot{U}_c \end{bmatrix}$$

下篇·电力系统稳定性分析

【电力系统稳定性】

两个要素: 平衡点, 干扰大小

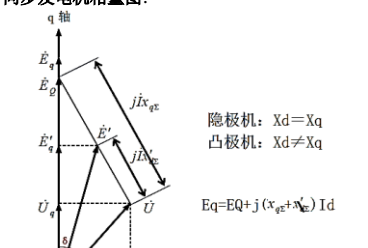
两种含义: 能否回到原平衡点, 新平衡点能否接受

三种分类: 静态稳定、暂态稳定、动态稳定

简化后的同步发电机数学模型:

$$\begin{cases} \dot{U}_d = X_f \dot{I}_q \\ \dot{U}_q = -X_d \dot{I}_d + E_q = -X_d' \dot{I}_d + E_q' \\ \frac{d\delta}{dt} = (\omega - 1)\omega_0 \\ T_J \frac{d\omega}{dt} = P_m - P_e \end{cases}$$

同步发电机相量图:



隐极机无穷大系统功角方程:

$$E_q \text{ 表示的功角方程}$$

$$P_{E_q} = \frac{E_q U}{X_{\Sigma}} \sin \delta + \frac{U^2}{2} \left(\frac{1}{X_{q\Sigma}} - \frac{1}{X_{d\Sigma}} \right) \sin 2\delta = \frac{E_q U}{X_{\Sigma}} \sin \delta$$

$$E_q' \text{ 表示的功角方程}$$

$$P_{E_q'} = \frac{E_q' U}{X_{\Sigma}} \sin \delta - \frac{U^2}{2} \frac{(X_{q\Sigma} - X_{d\Sigma}')}{X_{q\Sigma}' X_{d\Sigma}'} \sin 2\delta$$

凸极机无穷大系统功角方程:

E_q 恒定时凸极机的功角方程及曲线

$$P_{E_q} = \frac{E_q U}{X_{\Sigma}} \sin \delta + \frac{U^2}{2} \left(\frac{1}{X_{q\Sigma}} - \frac{1}{X_{d\Sigma}} \right) \sin 2\delta$$

E_q' 表示的功角方程及恒定时功角曲线

$$P_{E_q'} = \frac{E_q' U}{X_{\Sigma}} \sin \delta - \frac{U^2}{2} \frac{(X_{q\Sigma} - X_{d\Sigma}')}{X_{q\Sigma}' X_{d\Sigma}'} \sin 2\delta$$

【静态稳定】

E_q 恒定时同步功率系数: $S_{Eq} = dE_q/d\delta > 0$ 稳定

静态稳定储备系数: $K_P = (P_{\max} - P_0)/P_0$

提高静态稳定性: 提高 P_{\max} 可以提高稳定性, 因此可提高电压, 增加励磁, 减小电抗(分裂, 电容补偿)

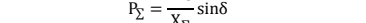
特征方程:

$$\lambda^2 + \frac{S_{Eq}(\delta_b)\omega_0}{T_J} = 0$$

【暂态稳定】

功角特性: 假定 E' 不变

$$P_{\Sigma} = \frac{E' U}{X_{\Sigma}} \sin \delta$$



故障前: $X_1 = X_{d1} + X_{T1} + X_L/2 + X_{T2}$

$$P_1 = \frac{E' U}{X_1} \sin \delta = P_{1M} \sin \delta$$

故障中: $X_{11} = X_k + X_j + X_k X_j / X_d$

$$P_{11} = \frac{E' U}{X_{11}} \sin \delta = P_{11M} \sin \delta$$

故障类型	附加电抗 X_A	图示
------	------------	----

单相接地故障 $K^{(1)}$

$$X_2 + X_0$$

两相相间故障 $K^{(2)}$

$$X_2$$

两相接地故障 $K^{(1,1)}$

$$\frac{X_2 X_0}{X_2 + X_0}$$

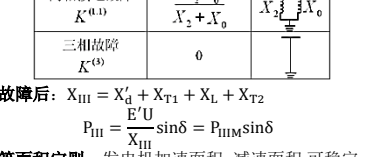
三相故障 $K^{(3)}$

$$0$$

故障后: $X_{111} = X_d' + X_{T1} + X_L + X_{T2}$

$$P_{111} = \frac{E' U}{X_{111}} \sin \delta = P_{111M} \sin \delta$$

等面积法则: 发电机加速面积=减速面积, 可稳定



δ_0 初始功角, δ_{cr} 故障切除角, δ_{cr} 极限切除角

δ_n, P_0 与曲线 \square 交点, $\delta_n = \pi - \sin^{-1}(P_0/P_{111M})$

$$\delta_{cr} = \cos^{-1} \frac{-P_0(\delta_h - \delta_0) + P_{111M} \cos \delta_h - P_{111M} \cos \delta_0}{P_{111M} - P_{111M}}$$

根据转子运动方程求极限切除时间 t_{cr}

$$\left\{ \frac{d^2 \delta}{dt^2} \omega_0 (P_m - P_{111M} \sin \delta), t=0, \delta=\delta_0, \frac{d\delta}{dt}=0 \right.$$

提高暂态稳定性: 快速切除故障 δ_{cr} , 提高输出功率 P_e , 减少原动机输出 P_0

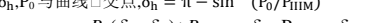
【继电保护】

四大要求: 可靠性(既不拒动, 也不误动), 选择性(最小范围切除故障, 保证非故障部分供电), 快速性(最短的时间切除故障), 灵敏性(反应故障的能力)

电流继电器(LJ) 动作电流 $I_{dz1} >$ 返回电流 I_{fh1} , 返回系数 $K_{fh} = I_{dz1}/I_{fh1} > 0.85$

最大短路电流: 最大运行方式下三相短路

最小短路电流: 最小运行方式下两相相间短路



[第一段电流保护]: 电流速断保护

整定: $I_{dz-4} = K_k I_{B\max}$ (下一段出口的最大短路电流) (应有 $K_k = 1.2 \sim 1.3$)

动作延时: $\Delta t = 0$

校验: ① I_{dmin} 是 4 段最小短路电流, 与 I_{dz-4} 的交点为可靠保护范围 $I_{d1, 4\%} = I_d/L_4$, 不得小于 15%~20%

② 速断保护灵敏度系数 $K_{lm4} = I_{dmin}/I_{dz}$ 必须 > 2.0

[二段保护]: 限时电流速断保护

保护线路全长并延伸到下一线路, 具有动作时限

整定: 线路 3 的一段保护区末端短路时不动作即

$$I_{dz-4}' = K_k' I_{dz-3}$$

应有 $K_k' = 1.1 \sim 1.2$

动作延时: $\Delta t = 0.5s$

校验: $K_{lm4}' = I_{Bmin}/I_{dz-4}'$ 必须 1.3~1.5

(若不合格, 可以减小动作电流并增加延时)

[三段保护]: 定时限过电流保护

保护范围从 4 首到 3 末端

整定: 1. 躲开最大负载电流 2. 返回电流大于自启动电流

$$I_{dz}' = K_k' I_{fz\max}$$

应有 $K_k' = 1.15 \sim 1.25$

动作延时: $\Delta t = 1.0s$

校验: #4 的近后备 $K_{lm4}' = I_{dmin}/I_{dz-4}'$ 应 1.3~1.5

#3 的远后备 $K_{lm4}' = I_{dmin}/I_{dz-4}'$ 应 > 1.2